

## بررسی توزیع تنش لینگوالی و باکالی در استخوان محاطی سه نوع ایمپلنت پیچی

### داخل استخوانی در محل دندان اینسایزور فک پایین به روش FEM

دکتر سید مجتبی سیدین<sup>\*</sup>، دکتر مهتاب نوری<sup>\*\*</sup>، دکتر آذین آذری<sup>\*\*\*</sup>، مهندس محمود رضا جهانی<sup>\*\*\*\*</sup>

#### چکیده

زمینه و هدف: یکی از روش‌های جدید جهت بررسی توزیع تنش روشن تحلیل اجزای محدود (FEM) می‌باشد. با استفاده از این روش می‌توان به مقایسه عملکرد مکانیکی اجسام و از جمله ایمپلنتها پرداخت و به مزایا و معایب طراحی آنها پی برد. هدف از این مطالعه بررسی توزیع تنش در استخوان محاطی ایمپلنت‌های Biohorizons، ITI و Persia در قدام و خلف مندیبل به روش اجزای محدود بود. روش بررسی: در این تحقیق تجربی ابتدا مدل مندیبل توسط دستگاه CMM و با کمک اطلاعات CT Scan بازسازی شده، سپس نمونه ایمپلنت‌های مورد نظر بوسیله دستگاه Project Profile مدلسازی شد. پس از آن تحت برنامه ANSYS مدلها شبکه‌بندی شده، ایمپلنت‌ها در محل دندان 1 و 7 در مندیبل جایگذاری شد. استخوان مندیبل در محل دندان 1 (D2) و در محل دندان 7 (D3) با ضرایب الاستیتی و ضخامت لایه کورتیکال متفاوت در نظر گرفته شد. سپس نیروهای عمودی = 100N و افقی = 20 N در پایه دندان 1 (D2) و در پایه دندان 7 (D3) با ضرایب  $T1_{mes} = T2_{vest}$  Ling = 20 N در برنامه ANSYS بصورت کنتور و گراف مورد بررسی قرار گرفت.

#### پافته‌ها:

در محل دندان 1 (D2):

ناحیه کرونالی: توزیع تنش در ایمپلنت Biohorizons مطلوبتر از دو نمونه دیگر بچشم می‌خورد.

ناحیه بدنی: توزیع تنش در ایمپلنت‌های ITI و Biohorizons بصورت مشابه و در هر دو نمونه مطلوبتر از Persia بچشم می‌خورد.

ناحیه اپکس: توزیع تنش در ایمپلنت Biohorizons از همه مطلوبتر و در ایمپلنت ITI از دو نمونه دیگر نامطلوبتر بنظر می‌رسد.

در محل دندان 7 (D3):

ناحیه کرونالی: توزیع تنش در ایمپلنت ITI کمتر از دو نمونه دیگر و توزیع آن بصورت متفاوت با نمونه‌های دیگر در جهت نفوذ به لایه تراپکولار بود.

ناحیه بدنی: توزیع تنش در ایمپلنت‌های Biohorizons مطلوبتر و در ایمپلنت ITI نامطلوبتر از نمونه‌های دیگر بود.

ناحیه اپکس: توزیع تنش در ایمپلنت Biohorizons مطلوبتر از نمونه‌های دیگر بود. در حالیکه در ایمپلنت ITI تمرکز نامطلوب تنش بوضوح قابل ملاحظه بود.

نتیجه گیری: الگوی توزیع تنش در ایمپلنت‌های متفاوت با توجه به شرایط استخوان محاطی و طراحی ایمپلنت‌ها متغیر می‌باشد. در نواحی که کیفیت استخوان محاطی ضعیفتر است دامنه این تغییرات گسترده‌تر بوده، احتمال تمرکز نامطلوب تنش و متعاقباً تحلیل استخوان پیشتر می‌باشد. در این تحقیق میان سه نمونه مورد بررسی ایمپلنت Biohorizons در نواحی ضعیفتر استخوانی توزیع تنش مطلوبتری را از خود نشان داد. ایمپلنت Persia (ساخت ایران) با نمونه‌های خارجی قابل رقابت تشخیص داده شد.

کلید واژه‌ها: تنش، استخوان محاطی، ایمپلنت، اینسایزور فک پایین

تاریخ دریافت مقاله: ۱۳۸۳/۸/۱۳ تاریخ اصلاح نهایی: ۱۳۸۴/۱/۲۲ تاریخ تأیید مقاله: ۱۳۸۴/۱/۱۳

\* استاد گروه پریودنیکس، دانشکده دندانپزشکی و مرکز تحقیقات علوم دندانپزشکی، دانشگاه علوم پزشکی شهید بهشتی  
\*\* استادیار گروه ارتودنی، دانشکده دندانپزشکی و مرکز تحقیقات علوم دندانپزشکی، دانشگاه علوم پزشکی شهید بهشتی

\*\*\* نویسنده مسئول: دندانپزشک

E-mail: Azinaz@yahoo.com

\*\*\*\* مهندس مکانیک، مجتمع دانشگاهی مواد و فناوریهای ساخت، دانشگاه صنعتی مالک اشتر

دندانی وجود دارد که از آن جمله می‌توان روش‌های فتوالاستیک، FEA و اندازه‌گیری کرنش (strain) را نام برد. از این میان FEA دارای برتری‌های بسیاری نسبت به دیگر روش‌های است. بازسازی دقیق هندسی ساختارهای درگیر در پذیرش و توزیع تنش، قابلیت پذیرش و دریافت‌های مختلف به سادگی، نشان دادن چگونگی تنش‌های داخلی و دیگر کمیتهای مکانیکی، تکرار پذیری ساده و سریع آزمایشها از جمله مزایای این روش مطالعاتی می‌باشد.

در سال ۱۹۷۶، Weinstein برای اولین بار FEA را برای بررسی توزیع تنش در ایمپلنت‌های ریشه‌ای شکل (root form) بکار برد.<sup>(۴)</sup> در سال ۱۹۹۹، Barbier با تقسیم‌بندی متفاوت نیروها و بالا بردن دقت المانها و در نظر گرفتن ساختمان ترابکولار سعی کرد تا به شرایط واقعی نزدیکتر شود.<sup>(۵)</sup> امروزه سعی بر آن است تا با بکارگیری معادلات غیرخطی و شرایط ناهمگن دقت محاسبات را بالا برند تا نتایج تحقیقات FEA روز به روز به واقعیت نزدیکتر شود. امروزه طراحی‌های جدید ایمپلنت‌های دندانی و مقایسه کارآیی محصولات مختلف عمده‌تاً با روش FEA صورت می‌گیرد.

اخيراً توجه به مطالعات مختلف و نتایج کلینیکال، ایمپلنتهای پیچی استوانه‌ای داخل استخوانی کاربرد بیشتری پیدا کرده‌اند تا جایی که می‌توان گفت که طراحی‌های جدید ایمپلنت تنها به این نوع خاص محدود شده است. با وجود شباهت ظاهری این محصولات، هر کدام دارای ساختار مکانیکال خاص خود می‌باشند، که این تفاوت ساختار خود باعث متفاوت بودن کارآیی نمونه‌های مختلف گردیده است. در این تحقیق سه نوع ایمپلنت پیچی داخل استخوانی که معرف سه طراحی متفاوت و مطرح جهانی می‌باشند مورد بررسی قرار گرفته‌اند.

- ۱- فیکسچر Persia ساخت کارخانه ایمپلنت‌سازی کرمان -

یکی از عواملی که می‌تواند باعث ایجاد نیروهای نامتعادل در استخوان اطراف ایمپلنت گردد، طراحی آن می‌باشد. استخوان اطراف نسبت به این تنش‌ها از خود عکس العمل تطابقی نشان می‌دهد که بصورت بازسازی و یا تحلیل ظاهر می‌نماید. شکل ایمپلنت در صورتی که موجب وارد آمدن نیروهای نامتعادل شود می‌تواند موجب تحلیل پاتولوژیک استخوان یا بوجود آمدن بافت فیبروزه گردد. بارگذاری نامتعادل علاوه بر آنکه می‌تواند سبب خستگی (Fatigue) و آتروفی شده، استخوان را به سمت تحلیل سوق دهد، می‌تواند باعث بوجود آمدن ترکهای ریز در سطوح تماس استخوان و ایمپلنت یا حتی شکستگی در ساختمان ایمپلنت و اجزای آن شود.<sup>(۱)</sup> از این رو یکی از عوامل تعیین کننده موفقیت ایمپلنت‌های دندانی چگونگی انتقال نیروهای مکانیکی به استخوان محاطی می‌باشد.<sup>(۲،۱)</sup> این نیروهای مختلف به صور گوناگونی به استخوان منتقل شده، تأثیرات متفاوتی بر آن می‌گذارند. یکی از پارامترهای اساسی و تعیین کننده در بررسی چگونگی تأثیرگذاری این نیروها مطالعه تنش می‌باشد. چگونگی توزیع تنش در استخوان خود به عوامل متعددی بستگی دارد که از مهمترین آنها می‌توان طراحی فیکسچر و خصوصیات ساختاری آن، ساختار استخوان، مقدار، جهت و تناوب نیروهای وارد بر ساختار، محل اعمال، اثر نیرو و . . . را برشمرد.

با توجه به پیچیدگی ساختار استخوان و طرحهای متنوع ایمپلنت‌های دندانی، امروزه کارآمدترین روش برای بررسی این مهم روشن تحلیل اجزای محدود (Finite Element Analysis - FEA) می‌باشد.<sup>(۳)</sup> تحلیل اجزای محدود (FEA) یک روش تئوریک پذیرفته شده است که برای حل مسائل مهندسی بکار می‌رود. این روش همچنین برای آنالیزهای بیومکانیکال ساختارهای دندانی بکار گرفته شده است. بطور کلی روش‌های مختلفی برای مطالعه تأثیر تنش در اطراف سیستم‌های ایمپلنت

طراحی مطابق با تراکم‌های مختلف استخوانی برخوردار است با هدف مقایسه توزیع تنفس باکالی و لینگوالی در این طراحی با انواع دیگر ایمپلنت‌های دندانی انتخاب گردید.

جهت بررسی توزیع تنفس باکالی و لینگوالی در استخوان محاطی ایمپلنت‌ها در محل دندان اینسایزور فک پایین از بخش آناتومی دانشکده پزشکی دانشگاه علوم پزشکی شهید بهشتی جمجمه خشک یک انسان جوان تهیه گردید و سپس از روی آن مدل کامپیوتری مندیبل طی طراحی مهندسی معکوس ساخته شد.

جهت انتقال اندازه‌های ابعادی مندیبل و ایمپلنت‌ها به کامپیوتر و ساخت مدل سه‌بعدی با اندازه تقریبی ۱ به ۱، مراحل عملیاتی به ترتیب زیر انجام پذیرفت:

با توجه به شکل مندیبل و قابلیت اندازه‌گیری دستگاه CMM (با دقت اندازه ۰/۰۱ میلی‌متر)، روش نقطه به نقطه (Digitizer) برای اندازه‌گیری قسمتهای مختلف مندیبل استفاده شد. اندازه‌گیری فک به دلیل ساختمان پیچیده داخلی و

خارجی آن در دو مرحله صورت گرفت:

مرحله اول - ایجاد خطوط خارجی مندیبل بدون درنظر گرفتن ساختمان داخلی آن توسط CMM

مرحله دوم - انتقال ساختمان داخلی مندیبل به مدل ساخته شده؛ پوسته کورتیکال به ضخامت ۲ میلی‌متر در ناحیه دندان اینسایزور فک پایین در نظر گرفته شد که این ضخامت به تدریج تا محل دندان ۷ به ۱ میلی‌متر کاهش پیدا می‌کرد.<sup>(۷)</sup>

علاوه بر ضریب الاستیسیته متفاوتی برای استخوان کورتیکال و ترابکولار در نظر گرفته شد تا بدین ترتیب بتوان هر چه بیشتر به شرایط طبیعی تزدیک شد. مدل استخوان ترابکولار بصورت مجزا ساخته شده، سپس پوسته کورتیکال با توجه به ابعاد و ضرایب متفاوت بر روی آن بازسازی گردید. این مرحله از تحقیق با هدف دستیابی به الگوی کامل فک پایین جهت استفاده در مطالعات دنباله‌دار صورت گرفت.

معرف دوبلیکیت سیستم برانمارک (A2)

-۲ - فیکسچر Biohorizon - معرف طراحی بر مبنای ساختار استخوانی (D2)

-۳ - فیکسچر ساخت شرکت (ITI) (International Team) (S10) - معرف سیستم‌های یک مرحله‌ای (Implantology) این تحقیق با هدف بررسی توزیع تنفس لینگوالی و باکالی در استخوان محاطی سه نوع ایمپلنت پیچی داخل استخوانی در محل دندان اینسایزور فک پایین به روش FEM صورت پذیرفته است.

### روش بررسی

این مطالعه یک مطالعه تجربی جهت مقایسه توزیع تنفس Von Mises (equivalent [EQV] stress) در سه نمونه ایمپلنت پیچی در محل دندان اینسایزور فک پایین می‌باشد. با توجه به جدول فراوانی انواع استخوانی نوع D2 برای محل دندان اینسایزور فک پایین انتخاب شد.

جدول فراوانی انواع استخوانی

استخوان	Anterior maxilla	Posterior maxilla	Anterior mandible	Posterior mandible
D1	۰	۰	۶	۳
D2	۲۵	۱۰	۶۶	۵۰
D3	۶۵	۵۰	۲۵	۴۶
D4	۱۰	۴۰	۳	۱

ایمپلنت‌های Biohorizons\* و ITI Persia با عنوان نمونه درنظر گرفته شدند. ایمپلنت Persia (A2) (Branemark) با هدف مقایسه با محصولات خارجی انتخاب شد. ایمپلنت ITI (S10) با توجه به طراحی خاص ناحیه apex و colar خود، ایمپلنت Biohorizons با عنوان ایمپلنت یک مرحله‌ای در نظر گرفته شد. ایمپلنت Biohorizons که طبق ادعای تولیدکنندگان آن از

\*Persia (Branemark) = A2(4/10)

ITI = S10 (4/10)

Biohorizons = D2 (4/11)

خصوصیات مواد نیز بصورت زیر در نظر گرفته شدند:  
 - Ti با ضریب الاستیسیته  $115/0$  و ضریب پواسون  $0/35$   
 استخوان متراکم با ضریب الاستیسیته  $13/7$  و ضریب پواسون  $0/35$   
 استخوان اسفنجی با ضریب الاستیسیته  $1/4$  و ضریب پواسون  $0/30$

سپس نیروها با شرایط زیر به مدل اعمال شدند:  
 نیروی عمودی برابر با  $N_{100}$  و نیروهای افقی  
 $T1 \text{ mes. dis} = 20N = T2 = \text{vest. ling}$

$$M1=M2=100N/mm$$

نیروهای مذکور هر کدام بصورت جداگانه طی یک مرحله و  
 سپس در مرحله آخر بصورت همزمان وارد شدند که در این  
 تحقیق برآیند نیروهای وارده بطور همزمان برای مقایسه در  
 نظر گرفته شد.

در این تحقیق برای اندازه گیری میزان استرس وارده از طریق  
 ایمپلنت به استخوان استرس (EQV Von Mises) بعنوان  
 معرف در نظر گرفته شد. نتایج تحقیقات به دو روش ارائه شد:

۱- کانتور کمی توزیع تنش - با هدف تشخیص تنش‌های  
 مجاز

۲- گراف - برای بررسی دقیق‌تر تنش وارد بر نقاط مختلف.  
 میزان عددی آن در سمت باکال و لینگوال بصورت جداگانه و  
 با اختلاف فاصله نیم میلیمتر از رأس تا انتهای فیکسچر  
 اندازه گیری شده، براساس آن نمودارهای موجود ترسیم شد.

از خصوصیات این تحقیق می‌توان به موارد زیر اشاره کرد:

۱- مقایسه سه نوع ایمپلنت پیچی که از مطرح‌ترین  
 طراحی‌های جهانی می‌باشند و تاکنون از لحاظ توزیع تنش با  
 یکدیگر مقایسه نشده‌اند.

۲- نحوه بارگذاری مرکب که در این تحقیق برای نخستین بار  
 صورت می‌گیرد.

۳- بازسازی الگوی استخوان کورتیکال و ترابکولار مندیبل-

در این تحقیق برای اندازه گیری ابعاد ایمپلنت‌های مورد مطالعه  
 از روش غیرتماسی استفاده شد. چرا که ابعاد کوچک و دقت  
 طراحی ایمپلنت‌ها اجازه استفاده از روش مستقیم را نمی‌دادند.  
 بدین ترتیب دستگاه سایه‌نگار (Project Profile) برای  
 اندازه گیری ایمپلنت‌ها مورد استفاده قرار گرفت. (با دقت  
 اندازه گیری  $0005/0$  میلی‌متر).

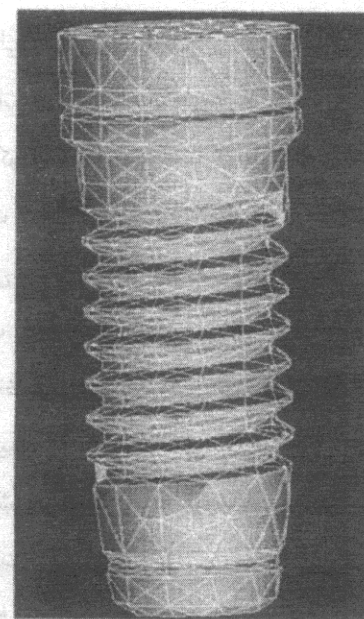
در مرحله بعد شبکه‌بندی در نمونه‌های مختلف بصورت زیر  
 انجام شد:

در ایمپلنت A2 تعداد المانها  $83689$  و تعداد گره‌ها  $16338$  بود.

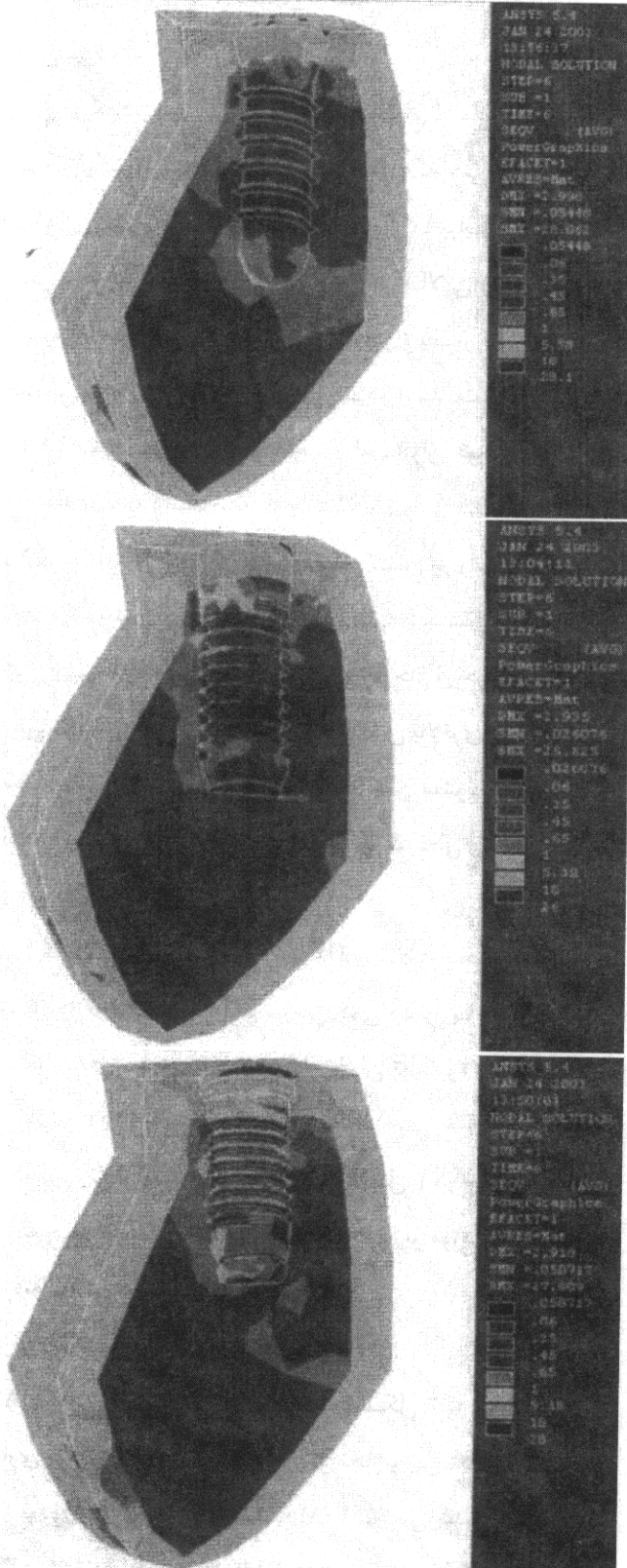
در ایمپلنت D2 تعداد المانها  $95933$  و تعداد گره‌ها  $18336$  بود.

در ایمپلنت S10 تعداد المانها  $76869$  و تعداد گره‌ها  $15241$  بود.

سپس ایمپلنت‌ها در ناحیه دندان اینسایزور فک پایین جاگذاری  
 شدند. مدل فرضی از درجه آزادی صفر برخوردار بوده، شرایط  
 تماس سطح استخوانی و بدنه ایمپلنت با فرض القای استخوانی  
 $100\%$  انجام پذیرفت.



شکل ۱- شکل شبکه‌بندی ایمپلنت A2



شکل ۲ - سه نوع ایمپلنت مورد مطالعه با هدف بررسی کیفی  
الگوی توزیع تنش

مجله دانشکده دندانپزشکی دانشگاه علوم پزشکی شهید بهشتی، دوره ۲۳، شماره ۳، پاییز ۱۳۸۴

بصورت جداگانه با در نظر گرفتن تغییر ساختار استخوانی از D2 به D3 از قدام به خلف مندبیل (این قسمت از تحقیق به منظور آماده‌سازی مقدمه مرحله دوم تحقیقات که بررسی توزیع تنش در این سه ایمپلنت در محل دندان ۷ است صورت گرفت).

-۴- در این تحقیق نتایج حاصل به دو روش کانتور کیفی و کمی مورد بررسی قرار گرفته است.

#### یافته‌ها

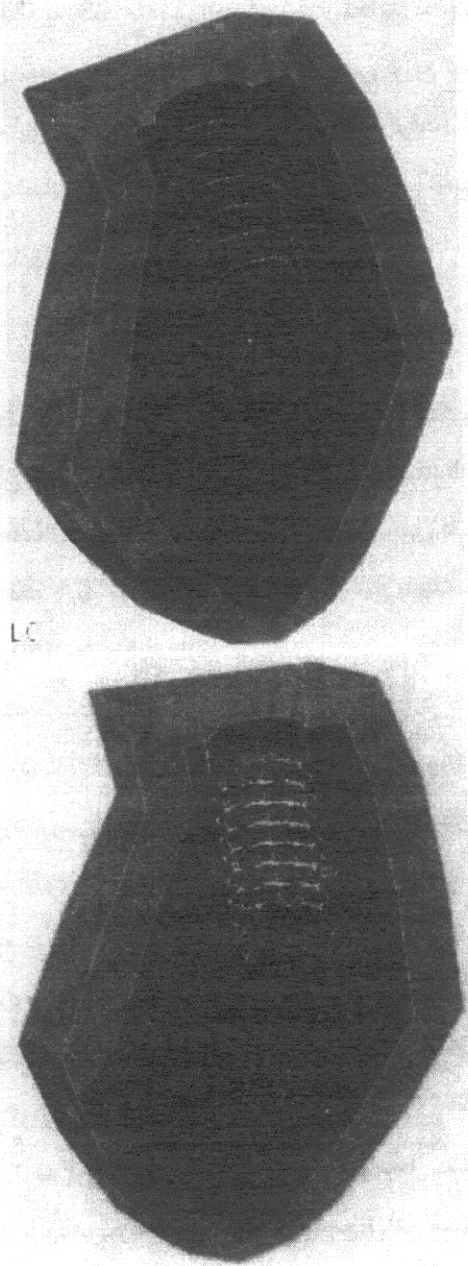
در این تحقیق تجربی چگونگی توزیع تنش باکالی و لینگوالی در استخوان محاطی سه نوع ایمپلنت Biohorizons = D2 در محل دندان ITI = S10 و Branemark (Persia) = A2 اینسایزور فک پایین مورد بررسی قرار گرفت. نتایج بدست آمده به دو صورت کانتور و گراف ارائه گردیدند.

با توجه به محدودیت‌های نرم‌افزار ۵ - Ansys در طیف ۸ scales ۸ رده‌بندی تصمیم بر آن شد تا نتایج کانتور در دو مرحله مورد بررسی قرار گیرد. در مرحله اول با یک مقایسه کیفی تنها الگوی توزیع تنش مورد مقایسه قرار گرفت و در مرحله دوم در یک مقایسه کمی با در نظر گرفتن مقادیر استاندارد تحمل تنش توسط استخوانهای کورتیکال ۱۸Mpa و ترابکولار (۴Mpa) (۹) تنش‌های غیرمجاز و مخرب شناسایی گردید.

در شکل ۲ سه نوع ایمپلنت A2، D2 و S10 در محل دندان ۱ فک پایین با هدف بررسی کیفی الگوی توزیع تنش مشاهده می‌شوند.

**ناحیه کورتیکال:** همانطور که مشاهده می‌شود A2 در ناحیه کورتیکال دارای تمرکز تنش مشهودی بصورت نواری شکل است که با تمرکز بیشتر در ناحیه لینگوال تا ناحیه باکال کشیده شده و نسبت به دو نوع دیگر دارای تمرکز تنش بیشتری در این ناحیه است. در ایمپلنت D2 تنش بطور متتمرکز در ناحیه مثلثی شکل در قسمت لینگوال دیده می‌شود. ایمپلنت S10

تجاوز می کند ( $P_{max} = 18\text{--}25 \text{Mpa}$ )



شکل ۳ - ایمپلنت های مورد مطالعه با هدف بررسی کمی تنش

-S10- با پیروی از الگوی توزیع تنش شکل ۲ تمرکز تنش تنها در سه نقطه کوچک بیش از حد مجاز بوده و به  $25\text{--}40 \text{Mpa}$  می رسد.

نقاط بسیار کوچک و پراکنده ای از تنش را از لینگوال به باکال نشان می دهد.

ناحیه ترابکولار؛ در ایمپلنت A2 تنش بطور قابل ملاحظه ای در اطراف فیکسچر متتمرکز شده است تا جایی که حتی در قسمت لینگوال رزوه دوم (T2L) از تنشی بیش از ۱۰ برابر دو نمونه دیگر برخوردار است. نواحی ای که از تنش بالایی برخوردارند بصورت گستردگی در سمت باکال فیکسچر و بطور متتمرکز در قسمت لینگوال رزوه ها دیده می شوند. در ایمپلنت D2 ناحیه حداکثر تنش بصورت نواری مورب از استخوان کورتیکال تا آغاز دندان اول کشیده شده همینطور در نواحی T7B, T6B, T4L, T3L, T2L, T1L نقطه متتمرکز تنش در رأس رزوه ها دیده می شوند. بطور کلی ناحیه باکال بدنی فیکسچر از تنش بالاتری برخوردار است. تنش در Apex به حداقل خود می رسد. ایمپلنت S10 در طول بدن فیکسچر از تنش بالاتری برخوردار است. بطور کلی بدن فیکسچر از توزیع تنش مطلوبی برخوردار است. در ناحیه Apical تمرکز تنش بصورت خطی پیوسته که دارای دو قله است بچشم می خورد.

در شکل ۳ سه نوع ایمپلنت A2, D2 و S10 در محل دندان اینسایزور فک پایین با هدف بررسی کمی تنش با توجه به استانداردهای تحمل تنش توسط استخوان ترابکولار  $5 \text{Mpa}$  و کورتیکال  $18 \text{Mpa}$  مشاهده می شوند.

با در نظر گرفتن الگوی توزیع تنش شکل ۲ در مرحله دوم مشاهده می شود که به غیر از نواحی که در زیر مورد اشاره قرار گرفته اند تنش ها در حد مجاز می باشند.

در ناحیه کورتیکال:

A2 - با پیروی از الگوی توزیع تنش شکل ۲ در منطقه ای نواری شکل حداکثر تنش بیش از حد مجاز و بین  $-25\text{--}40 \text{Mpa}$  بوده که در قسمت ling به  $25\text{--}40 \text{Mpa}$  می رسد.

D2 - تنشی معادل  $9\text{--}18$  کل ناحیه Colar را فرا گرفته که تنها در ناحیه کوچک مثلثی شکل در قسمت ling حد آن از

تنش مؤثر می‌باشد. در این تحقیق کلیه عوامل مؤثر از قبیل مقدار، جهت، تناب و محل اثر نیروها و خواص مکانیکی ایمپلنت‌ها و بافت استخوانی محاطی برای هر سه نوع ایمپلنت یکسان و تا حد امکان مطابق شرایط کلینیکال فرض شده است. تنها متغیر، ساختار ایمپلنت‌ها می‌باشد. در این میان به چند نکته مؤثر در توزیع تنش که در این سه ساختار متفاوت می‌باشند اشاره می‌شود.

۱- طراحی ناحیه گردن/ایمپلنت: طراحی ناحیه گردن (Collar) در ایمپلنت A2 کاملاً مسطح، یکنواخت و صیقلی، در D2 پله‌دار و صیقلی و در S10 قیفی شکل است. با توجه به نتایج حاصل در زمینه الگوی توزیع تنش، نوع S10 دارای توزیع تنش یکنواخت‌تری است. یک مرحله‌ای بودن و طراحی قیفی شکل این ایمپلنت که باعث پخش تنش‌ها در فضای وسیع‌تری می‌شود این نتیجه را توجیه می‌کند چرا که S10 در ناحیه گردن (Collar) از قطر بیشتری برخوردار است و در نتیجه توزیع تنش مطلوب‌تری را دارد می‌باشد که این نتیجه تحقیقات Holmes در سال ۱۹۹۲، Chun در سال ۱۹۹۸ و Holmgren در سال ۲۰۰۲ مبنی بر تأثیر مثبت افزایش قطر ایمپلنت بر توزیع یکنواخت‌تر تنش‌ها را تأیید می‌کند.<sup>(۱۲، ۱۱، ۱)</sup>

در D2 با توجه به ساختار استوانه‌ای یکنواخت ناحیه گردن (Collar) تنش بصورت یکنواخت اما با مقدار بیشتر از S10 در ضخامت لایه کورتیکال پخش می‌شود. در مقایسه با این ایمپلنت، A2 که در ناحیه گردن دارای ساختار پله‌ای است تنش را در لایه فوقانی استخوان کورتیکال متمرکز کرده و علاوه بر تمرکز تنش در یک لایه محدود از قدر مطلق تنش بیشتری نیز نسبت به دو نوع دیگر برخوردار است.

این نتایج نگرانی‌های سازندگان ایمپلنت D2 (Biohorizons) در مورد بارگذاری زودهنگام و تأکید آنها بر ضرورت بارگذاری تدریجی این محصول را تأیید می‌کند.<sup>(۱۳)</sup> A2 در این ناحیه با تمرکز تنشی بیش از ۳۰ برابر ناحیه ترابکولار روپروسست. با

در ناحیه ترابکولار:

کلاً تنش‌ها در سمت باکال تمرکز بوده و در حد مجاز می‌باشند بجز:

A2 - نواحی تمرکز تنش در دو ناحیه بچشم می‌خورند. در یکی از دو ناحیه تنش‌های مرزی مشاهده می‌شوند که در ناحیه coronal قبل از آغاز رزووه‌ها بصورت نوار نسبتاً وسیع از سمت لینگوال تا نیمه فیکسچر کشیده و دیگری در قسمت رأس T2L که در رأس آن در منطقه بسیار کوچکی حتی بیش از حد مجاز گذشته و بین ۵-۹Mpa است.

D2 - در بدن فیکسچر تنش‌ها در حد مجاز می‌باشند. نواحی تنش‌های مرزی در قسمت coronal و قبل از آغاز دندان و دیگری در ناحیه بسیار کوچکی در رأس T1B.

S10 - نه تنها تنش غیرمجاز در بدن فیکسچر مشاهده نمی‌شود بلکه حتی از تنش‌های مرزی نیز خبری نیست.

## بحث

مطالعات کلینیکی نشان می‌دهند که تحلیل استخوانی اطراف ایمپلنت‌های دندانی بطور عمده در ناحیه گردن ایمپلنت می‌باشند.<sup>(۱۵)</sup> پس از مطالعات فراوان که حاصل آن فرضیه‌های بسیاری برای یافتن این علت بود با توجه به آزمایشات حیوانی بسیاری که انجام گرفت یکی از عده دلایل این تحلیل استخوانی شرایط بارگذاری نامطلوب اعلام شده، ثابت شد که بارگذاری نامطلوب سبب تجمع بیش از حد تنش‌ها و در نهایت تحلیل استخوان می‌گردد. پس از اثبات این مهم بر ارزش مطالعات FEA که روش اصلی بررسی تنش‌ها در ساختارهای بیومکانیکال می‌باشند افزوده شد.

در این تحقیق با استفاده از روش آنالیز اجزای محدود (FEA) چگونگی توزیع تنش در سه نوع ایمپلنت بیچری داخل استخوانی به استخوان محاطی بررسی شد.

همانطور که در مقدمه نیز اشاره شد عوامل گوناگونی در توزیع

## Archive of SID

ایمپلنت افزایش یافته و طراحی قیفی شکل آن در این ناحیه بطور قابل ملاحظه‌ای از تمرکز تنش در ناحیه کورتیکال کاسته است. این شکسته شدن بار در قسمت کورتیکال باعث شده که تنش کمتری به ناحیه ترابکولار وارد شود که در نتیجه کلاً طراحی بدن را تحت تأثیر قرار داده است. با وجود اینکه در بررسی کمی تمرکز تنش تمام تنش‌ها در اطراف این ایمپلنت در حد مجاز است در بررسی کیفی الگوی تنش مشاهده می‌شود که تمرکز خطی شکلی در Apex وجود دارد که این تمرکز تنش با توجه به طراحی سیلندریک این ایمپلنت قابل پیش‌بینی بوده و نظریات Mailath در سال ۱۹۸۹ را تأیید می‌کند. اما نتایج حاصل بطور کلی نظریه Bidz در سال ۱۹۹۹ را مبنی بر کاهش تنش در ایمپلنت‌های Thread square را تأیید نمی‌کند.<sup>(۱۷,۱۳,۷)</sup> باید متذکر شد که طراحی رزوه‌ها عامل مؤثری در توزیع تنش می‌باشد اما تأثیر آن به اندازه تأثیر طراحی ناحیه گردن و قطر ایمپلنت نمی‌باشد. همچنین در مورد تأثیر TSA نتایج حاصله مطالعات Bidz و Mish در سال ۱۹۹۹ را بطور کامل تأیید نمی‌کنند. زیرا که D2 علاوه بر رزوه‌های اما توزیع تنش بهتری نسبت به S10 داشت. بنابراین هر دوی این عوامل (TSA + Thread shape) در شرایط این تحقیق به اندازه طراحی ناحیه گردن مؤثر بنظر نمی‌رسند.

بطور کلی مقایسه کمی کانتورهای توزیع تنش حاکی از آن است که در ناحیه گردن بیشترین تمرکز تنش از لحاظ وسعت و مقدار در A2 و کمترین آن در S10 دیده می‌شود. با این وجود در هر سه نوع ایمپلنت نقاطی که تمرکز تنش بیشتر از حد مجاز یعنی ۱۸Mpa باشد دیده می‌شود. در نتیجه در هر سه این ایمپلنت‌ها احتمال تحلیل استخوان در ناحیه کورتیکال وجود دارد اما این احتمال در A2 بسیار قوی، در D2 بطور متوسط و در S10 بسیار ضعیف است.

در ناحیه ترابکولار و در بررسی کمی تمرکز تنش چنین

توجه به اینکه طبق تحقیقات Holmes در سال ۱۹۹۲ و Luftus و Holmogren در سال ۱۹۹۷ Patra در سال ۱۹۹۸ و Lum در سال ۱۹۹۱ لایه کورتیکال با پذیرش تنش بالاتری نسبت به استخوان ترابکولار مواجه است اما در A2 ناحیه تمرکز تنش وسیع بوده و میزان تنش در آن بیش از حد تحمل استخوان ترابکولار و ۱۹Mpa بوده و بسیار ۲۸Mpa می‌رسد.<sup>(۲۲,۲۱,۱۵,۱۴)</sup> از این رو در ایمپلنت A2 که با تمرکز تنش بیشتری در لایه فوقانی کورتیکال روبرو است بیم آن می‌رود که خطر تحلیل استخوان در اینگونه نسبت به نمونه‌های دیگر بسیار بالاتر باشد.

### ۲- طراحی بدن فیکسچر

#### (a) زاویه رزوه‌ها (thread angle)

ایمپلنت‌های مورد بررسی A2 و S10 از نوع V-shaped و D2 از نوع square (با زاویه ۹۰ درجه) می‌باشند. با توجه به ملاحظات بیومکانیکال و رابطه (نیروی برشی = نیروی محوری  $\times \sin$  زاویه) پیش‌بینی می‌شد که توزیع تنش D2 مطلوب‌تر از انواع دیگر باشد. چرا که در رزوه‌های با زاویه قائم نیروی برشی که از انواع نیروهای مخرب بشمار می‌رود براساس فرمول بالا کاهش می‌باید. با این وجود علیرغم انتظار ما توزیع تنش در بدن این فیکسچر مطلوب‌تر از S10 نبود.

#### (b) total surface area (TSA)

با توجه به طراحی خاص D2 در جهت بالاتر بودن TSA، انتظار می‌رفت که با توجه به نسبت TSA در ایمپلنت‌ها TSAD2 > TSAA2 > TSAS10 این فاکتور در توزیع تنش در بدن فیکسچر بسیار مؤثر باشد که نتایج بدست آمده این انتظار را برآورده نکرد چرا که S10 در بدن فیکسچر مطلوب‌ترین توزیع تنش را دارا می‌باشد.

با توجه به طراحی خاص S10 می‌توان نتایج حاصله را اینگونه توجیه کرد که چون S10 یک ایمپلنت یک مرحله‌ای بوده و در قسمت گردن با پیش‌بینی اعمال نیروهای زودهنگام قطر

کیفی تأثیر بسزایی دارد تا جایی که طبق نتایج بدست آمده طراحی S10 با تقارن نسبی تنش‌ها کمی تمایل به سمت باکال، D2 بیشتر تمایل به تمرکز تنش‌ها در سمت باکال و A2 علاوه بر باکال به سمت لینگوال دارد.

### نتیجه‌گیری

- ۱- بطور کلی قطر و شکل گردن ایمپلنت در توزیع تنش تأثیری به مراتب بیشتر از FSA بدن و فیکسچر و زاویه پیچ‌ها دارند.
- ۲- حداقل تمرکز تنش در ناحیه کورتیکال و بیش از ۳۰-۴۰ برابر ناحیه ترابکولار است.
- ۳- با توجه به تحقیقات انجام شده توزیع تنش در محل استخوان ۱ در ایمپلنت ITI مطلوب‌تر از Biohorizons و Persia می‌باشد.
- ۴- Perisa (A2) نامتقارن‌ترین توزیع تنش را دارا بوده از حداقل تنش مؤثر بیشتری برخوردار است و خطر تحلیل سروپکال بخصوص در قسمت Ling آن و نیز نوک رزووه‌ها به مراتب بیشتر از دو نوع دیگر می‌باشد.
- ۵- ایمپلنت D2 با توجه به اصول بیومکانیک رعایت شده در بدن آن (FSA و زاویه رزووه‌ها) از لحاظ توزیع تنش انتظارات ما را برآورده نکرد و نسبت به ITI (که از این اصول پیروی نکرده بود) توزیع تنش نامطلوب‌تری را داشت.

برمی‌آید که به جزء در ایمپلنت A2 آن هم در نقطه بسیار کوچکی در رأس T2L در بقیه موارد تنش‌ها در حد مجاز یعنی کمتر از ۵Mpa می‌باشند و بدین ترتیب تهدید جدی برای تحلیل استخوان ترابکولار وجود ندارد. با وجود این در D2 (یک نقطه در ابتدای شروع رزووه‌ها) و A2 (در شروع رزووه‌ها و در T2L) نقاطی وجود دارند که در آنها تجمع تنش‌های مرزی بچشم می‌خورند. بر عکس این دو ایمپلنت در S10 کلاً ناحیه ترابکولار در معرض تمرکز تنش محسوسی نیست و خطر تحلیل در آن نمی‌رود. اما مطالعه الگوی توزیع تنش از لحاظ کیفی (شکل ۲) حاکی از آن است که با وجود آنکه در ناحیه ترابکولار تنش‌ها اکثراً در حد مجاز هستند اما در A2 و D2 تمایل به تمرکز تنش در ناحیه نزدیک به گردن و قبل از شروع رزووه‌ها بچشم می‌خورد که این مسئله عدم پاسخگویی طراحی ناحیه گردن این دو ایمپلنت را نسبت به توزیع یکنواخت تنش‌ها تأیید می‌کند. علاوه بر آن تمرکز در ناحیه رأس رزووه‌ها Caputo و Ichida در سال ۱۹۸۶ است. در A2 علاوه بر قسمت باکال در ناحیه لینگوال هم این تمرکز بچشم می‌خورد. در یک سوم تھاتی نزدیک apex در A2 این تجمع در سمت باکال است اما در D2 بطور عمده در رأس رزووه‌ها و قسمت باکالی بدن ایمپلنت.

بنابراین می‌توان چنین نتیجه‌گیری کرد که تفاوت در ساختار ایمپلنت‌ها در توزیع تنش چه از لحاظ کمی و چه از لحاظ

### References

1. Chun H: Evaluation of design parameters of osseointegrated dental implants using FEA. *J Oral Rehabil* 2002;29:565-574.
2. Shinichiro T: Influence of implant design and bone quality on stress / strain distribution bone around implants: FEA. *J Oral Maxillofac Implants* 2003; 18:357-368.
3. Lekholm U, Zarb GA: Patient selection and preparation. In: Branemark PI, Zarb GA, Albrektsson T, editors: *Tissue integrated prosthesis: osseointegration in clinical dentistry*. 2nd Ed. Chicago, Quintessence Co. 1985;Chaps 14,15:199-209.
4. Weinstein AM, Klawitter JJ, Anand SC, Schuessler R: Stress analysis of porous rooted dental implants. *J*

*Archive of SID*

Dent Res 1976;55:772-7.

5. Barbier L, Vander Sloten J, Kresesinki G, Schepers E, Von Der Perre G: Finite element analysis of non – axial loading of oral implants in the mandible of the dog. *J Oral Rehabil* 1998;25:847-58.
6. Misch CE, Bidz MW: Bone dentistry. In: Misch CE: Contemporary Implant Dentistry. 2nd Ed. St. Louis: The CV Mosby Co. 1999;Chap8:114.
7. Misch CE, Bidz MW: Implant protected occlusion: a biomechanical rationale. *Compend Cont Educ Dent* 1994;15:1330-1334.
8. Clift SE, Fisher J, Watson CJ: Finite element stress and strain analysis of the bone surrounding the dental implant: effect of variations in bone modulus. *Proc Inst Mech Eng (H)* 1992;206:233-41.
9. Deborah F, Rigsby M, Bidez W, Misch CE: Bone response to mechanical loads. In: Misch CE: Contemporary Implant Dentistry. 2nd Ed. St. Louis: The CV Mosby Co. 1999;Chap18:317-24.
10. Wadamoto M, Akagawa Y, Sato Y, Kubo T: The three dimensional bone interface of a osseointegrated implant. I A morphometric evaluation in initial healing. *J Prosthet Dent* 1996;76:170-5.
11. Holmes DC, Loftus JT: Influence of bone quality on stress distribution for endosseous implants. *J Oral Implantol* 1997;23:104-11.
12. Holmgren EP, Seckinger RJ, Kilgren ML, Mante E: Evaluating parameters of osseointegrated dental implants using finite element analysis – A two dimensional comparative study examining the effect of implants diameter, implant shape and load direction. *J Oral Implantol* 1998;24:80-88.
13. Misch CE: Density of bone: effect on surgical approach and healing. In: Misch CE: Implant Dentistry. 2nd Ed. St. Louis: The CV Mosby Co. 1999; Chap25:371-385.
14. Patra AK, De Paolo JM, D'Souza KS, Meenaghan MA: Guidelines for analysis and redesign of dental implants. *Implant Dent* 1998;7:355-68.
15. Lum LB: A biomechanical rationale for the use of short implant. *J Oral Implantol* 1991;17:126-31.
16. Mailath G, Stoiber B, Watzek G, Matejka M: Bone resorption at the entry of osseointegrated implants – a biomechanical phenomenon. Finite Element Study (in German). *Z Stomatol* 1989;86:207-16.
17. Misch CE, Bidz MW: Implant protected occlusion: a biomechanical rationale. *Compend Cont Educ Dent* 1994;15:1330-1334.